

**ВЛИЯНИЕ ПЛОТНОСТИ ОКРУЖАЮЩЕЙ СРЕДЫ НА
УСТОЙЧИВОСТЬ СТРУИ ДИЭЛЕКТРИЧЕСКОЙ ЖИДКОСТИ,
ДВИЖУЩЕЙСЯ КОЛЛИНЕАРНО ОДНОРОДНОМУ
ЭЛЕКТРОСТАТИЧЕСКОМУ ПОЛЮ****А.И. Григорьев, С.О. Ширяева, Н.А. Полянцеv***Ярославский государственный университет им. П.Г. Демидова,
ул. Советская, 14, г. Ярославль, 150000, Россия, grig@uniyar.ac.ru*

Введение. Проблемы спонтанного капиллярного и электростатического распада струй представляют значительный интерес в связи с многочисленными приложениями феномена электродиспергирования жидкости в технике и технологии [1–7]. В частности, исследование феноменов стабилизации капиллярных волн продольным электростатическим полем [8–15] и дестабилизации движением относительно материальной внешней среды [5, 16–17] представляет значительный интерес благодаря попыткам физической трактовки многочисленных режимов электродиспергирования жидкости, наблюдаемых экспериментально [3, 18–20]. В связи со сказанным представляется интересным исследовать устойчивость цилиндрической струи при одновременном влиянии обоих вышеупомянутых факторов: стабилизирующего влияния внешнего однородного коллинеарного струе электростатического поля и дестабилизирующего влияния движения струи относительно внешней материальной среды.

Формулировка задачи. Пусть бесконечная цилиндрическая струя идеальной несжимаемой диэлектрической жидкости с массовой плотностью ρ_2 , диэлектрической проницаемостью ϵ_{in} и коэффициентом поверхностного натяжения σ , имеющая радиус R , движется параллельно однородному электростатическому полю \vec{E}_0 с постоянной скоростью \vec{U}_0 . Массовую плотность внешней среды обозначим ρ_1 , а её диэлектрическую проницаемость – ϵ_{ex} . Зададимся целью исследования устойчивости капиллярных волн с произвольной симметрией (с произвольными значениями азимутального числа m) на поверхности такой струи.

Перейдем в инерциальную систему отсчета, движущуюся вместе со струей с такой же скоростью \vec{U}_0 . В такой системе отсчета поля скоростей течения жидкости в струе и окружающей среде полностью определяются капиллярными волнами на ее поверхности и в безразмерных переменных $\rho_2 = \sigma = R = 1$, где будет проведено все рассмотрение, являются величинами такого же порядка малости, что и амплитуды волн. Движение жидкости в струе и среде будем принимать потенциальным, а потенциалы полей скоростей волновых течений жидкости и среды обозначим $\psi_2(r, t)$ (или ψ_{in}) и $\psi_1(r, t)$ (или ψ_{ex}) соответственно.

Весь анализ проведем в цилиндрической системе координат $\{r, \varphi, z\}$ с осью OZ , совпадающей по направлению с осью симметрии цилиндрической струи, направленной вдоль вектора скорости \vec{U}_0 . Уравнение свободной поверхности струи, возмущенной тепловым капиллярным волновым движением бесконечно малой амплитуды, запишем в виде

$$F(r, \varphi, z, t) = r - (1 + \xi(\varphi, z, t)) = 0,$$

где $\xi(\varphi, z, t)$ – возмущение цилиндрической поверхности струи, вызванное капиллярным волновым движением.

Математическая формулировка задачи имеет вид [8–14]:

$$\Delta\psi_{in}(\vec{r}, t) = 0; \quad \Delta\psi_{ex}(\vec{r}, t) = 0; \quad \Delta\Phi_{in}(\vec{r}, t) = 0; \quad \Delta\Phi_{ex}(\vec{r}, t) = 0;$$

$$\begin{aligned}
r=1+\xi: \quad \frac{dF}{dt} &\equiv \frac{\partial F}{\partial t} + (\nabla \Psi_j, \nabla) F = 0; \quad (\vec{n}, \nabla) \Psi_{in}(\vec{r}, t) = (\vec{n}, \nabla) \Psi_{ex}(\vec{r}, t); \\
P_{in}(\vec{r}, t) - P_{ex}(\vec{r}, t) + P_E(\vec{r}, t) &= P_\sigma(\vec{r}, t); \\
P_{in}(\vec{r}, t) &\equiv P_{in}^{(0)} - \partial_t \Psi_{in}(\vec{r}, t) - \frac{1}{2} (\nabla \Psi_{in}(\vec{r}, t))^2; \\
P_{ex}(\vec{r}, t) &= -\rho \partial_t \Psi_{ex}(\vec{r}, t) - \frac{\rho}{2} (-\vec{U}_0 + \nabla \Psi_{ex}(\vec{r}, t))^2; \\
\varepsilon_{in} [(\vec{n}, \nabla) \Phi_{in}(\vec{r}, t)] &= \varepsilon_{ex} [(\vec{n}, \nabla) \Phi_{ex}(\vec{r}, t)]; \\
(\vec{\tau}, \nabla) \Phi_{in}(\vec{r}, t) &= (\vec{\tau}, \nabla) \Phi_{ex}(\vec{r}, t); \\
r \rightarrow 0: \quad \nabla \Psi_{in}(\vec{r}, t) &\rightarrow 0; \quad \Phi_{in}(\vec{r}, t) < \infty; \\
r \rightarrow \infty: \quad -\nabla \Phi_{ex}(\vec{r}, t) &= \vec{E}_0; \quad \nabla \Psi_{ex}(\vec{r}, t) \rightarrow -\vec{U}_0; \\
&\int_{z_0}^{z_0+\lambda} \int_0^1 \int_0^{2\pi} dz r dr d\varphi = \pi \lambda,
\end{aligned}$$

$\vec{\tau}$ и \vec{n} – единичные векторы касательной и нормали к возмущенной поверхности струи; λ – длина волны; $\Psi_{in}(\vec{r}, t)$, $\Phi_{in}(\vec{r}, t)$ и $\Psi_{ex}(\vec{r}, t)$, $\Phi_{ex}(\vec{r}, t)$ – гидродинамические и электростатические потенциалы в струе и среде соответственно; $P_{in}(\vec{r}, t)$ и $P_{ex}(\vec{r}, t)$ – поля давлений в струе и внешней среде; $P_{in}^{(0)}$ – постоянное давление в цилиндрической струе в отсутствие волнового движения на её поверхности; $\rho \equiv \rho_1/\rho_2$ – безразмерная плотность среды; $P_\sigma(\vec{r}, t)$ – давление сил поверхностного натяжения [13]:

$$P_\sigma(\vec{r}, t) \equiv \text{div } \vec{n} \equiv - \left(\xi + \frac{\partial^2 \xi}{\partial z^2} + \frac{\partial^2 \xi}{\partial \varphi^2} \right);$$

$P_E(\vec{r}, t)$ – давление электрического поля на поверхность струи [6, 7]:

$$\begin{aligned}
P_E(\vec{r}, t) &= -\frac{\varepsilon_{ex}}{8\pi} \left[(\nabla \Phi_{ex}(\vec{r}, t))^2 + 2((\vec{n}, \nabla) \Phi_{ex}(\vec{r}, t))^2 \right] + \\
&+ \frac{\varepsilon_{in}}{8\pi} \left[(\nabla \Phi_{in}(\vec{r}, t))^2 - 2((\vec{n}, \nabla) \Phi_{in}(\vec{r}, t))^2 \right].
\end{aligned}$$

Дисперсионное уравнение. Решение сформулированной задачи ищется в виде разложений искомых функций по $I_m(kr)$ и $K_m(kr)$ – модифицированным функциям Бесселя первого и второго рода соответственно [21] по схеме, подробно описанной в [4, 6–8, 13]. Здесь $k \equiv 2\pi/\lambda$ – волновое число. Процедура отыскания решения не сложна, но достаточно громоздка, а потому, имея в виду цель настоящего рассмотрения, заключающуюся в исследовании устойчивости капиллярных волн на поверхности струи, сразу выпишем дисперсионное уравнение задачи в окончательном виде:

$$\begin{aligned}
&[\rho_1 G_m(k) - H_m(k)] S^2 - 2k\rho_1 U_0 G_m(k) S + \\
&+ H_m(k) G_m(k) \left\{ \frac{k^2 \rho_1 U_0^2}{H_m(k)} + \frac{1}{4\pi} \frac{(\varepsilon_{ex} - \varepsilon_{in})^2 k^2 E_0^2}{[\varepsilon_{in} G_m(k) - \varepsilon_{ex} H_m(k)]} - 1 + k^2 + m^2 \right\} = 0;
\end{aligned}$$

$$H_m(k) \equiv m - \frac{k K_{m+1}(k)}{K_m(k)}; \quad G_m(k) \equiv m + \frac{k I_{m+1}(k)}{I_m(k)}.$$

Решения дисперсионного уравнения легко выписываются:

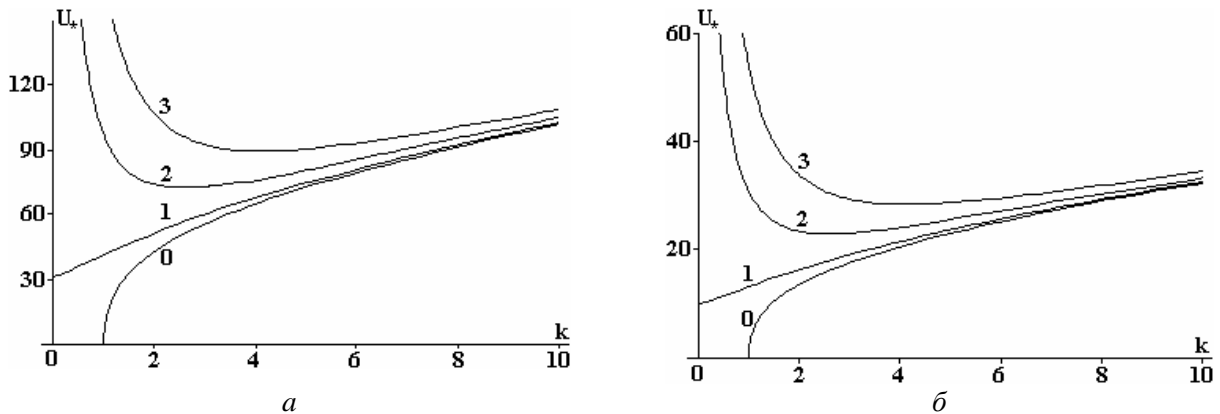
$$S_{1,2} \equiv \omega \pm i\lambda \equiv -\frac{k\rho U_0 G_m(k)}{\rho G_m(k) - H_m(k)} \pm \left\{ \frac{\rho^2 k^2 U_0^2 G_m^2(k)}{[\rho G_m(k) - H_m(k)]^2} - \frac{H_m(k)G_m(k)}{\rho G_m(k) - H_m(k)} \left[\frac{k^2 \rho U_0^2}{H_m(k)} + \frac{(\varepsilon_{ex} - \varepsilon_{in})^2 k^2 E_0^2}{4\pi[\varepsilon_{in} G_m(k) - \varepsilon_{ex} H_m(k)]} - 1 + k^2 + m^2 \right] \right\}^{\frac{1}{2}}. \quad (1)$$

При изменении физических параметров системы волны на поверхности раздела среды будут сохранять устойчивость до тех пор, пока частоты $S_{1,2}$ остаются вещественными, то есть пока подкоренное выражение в (1) положительно. Когда подкоренное выражение станет отрицательным, у частот $S_{1,2}$ появится мнимая часть, и они образуют пару комплексно-сопряженных корней: $S \equiv \text{Re } S \pm i \text{Im } S \equiv \omega \pm i\gamma$. Амплитуда волны с отрицательной мнимой частью частоты будет экспоненциально со временем увеличивать свою амплитуду, что приведет к распаду струи на отдельные капли. Амплитуда волны с положительной мнимой частью частоты будет экспоненциально во времени затухать.

Приравнявая в (1) подкоренное выражение нулю, получим критическую величину скорости движения струи относительно среды U_* , при которой происходит переход от устойчивых волн к неустойчивым:

$$U_* = \sqrt{\left(1 - k^2 - m^2 - \frac{k^2 (\varepsilon_{ex} - \varepsilon_{in})^2 E_0^2}{4\pi[\varepsilon_{in} G_m(k) + \varepsilon_{ex} H_m(k)]} \right) \frac{[H_m(k) - \rho G_m(k)] H_m(k)}{[3\rho G_m(k) + H_m(k)] \rho k^2}}. \quad (2)$$

Обсуждение полученных результатов. На рис. 1 приведены результаты расчетов по (2) в виде зависимостей $U_* = U_*(k)$ для волн с первыми четырьмя азимутальными числами m (с различной симметрией), выполненных в отсутствие электрического поля при различных безразмерных плотностях окружающей среды. Прежде всего бросается в глаза то обстоятельство, что, хотя приведенные кривые при малых значениях волновых чисел k существенно различаются, с ростом k все кривые асимптотически сближаются. Это означает, что при больших значениях k волны с произвольной симметрией будут возбуждаться потоком окружающей среды, имеющим фиксированную скорость U_0 внутри весьма узкого диапазона волновых чисел Δk , который легко найти, пересекая приведенные кривые прямой параллельной оси k (при больших k). Видно также, что с ростом плотности окружающей среды критические значения скорости снижаются при всех k . Рис. 1,г иллюстрирует ситуацию, когда плотности струи и среды примерно равны (такая ситуация встречается, например, в канале разряда молнии). Несложно видеть, что граница раздела таких сред будет неустойчива уже при достаточно малых значениях скорости относительного движения так же, как и в ситуации, проиллюстрированной рис. 1,д, характерной, например, для струи газа в жидкости. Капиллярная неустойчивость канала разряда линейной молнии может привести к образованию структуры типа четочной молнии [22].



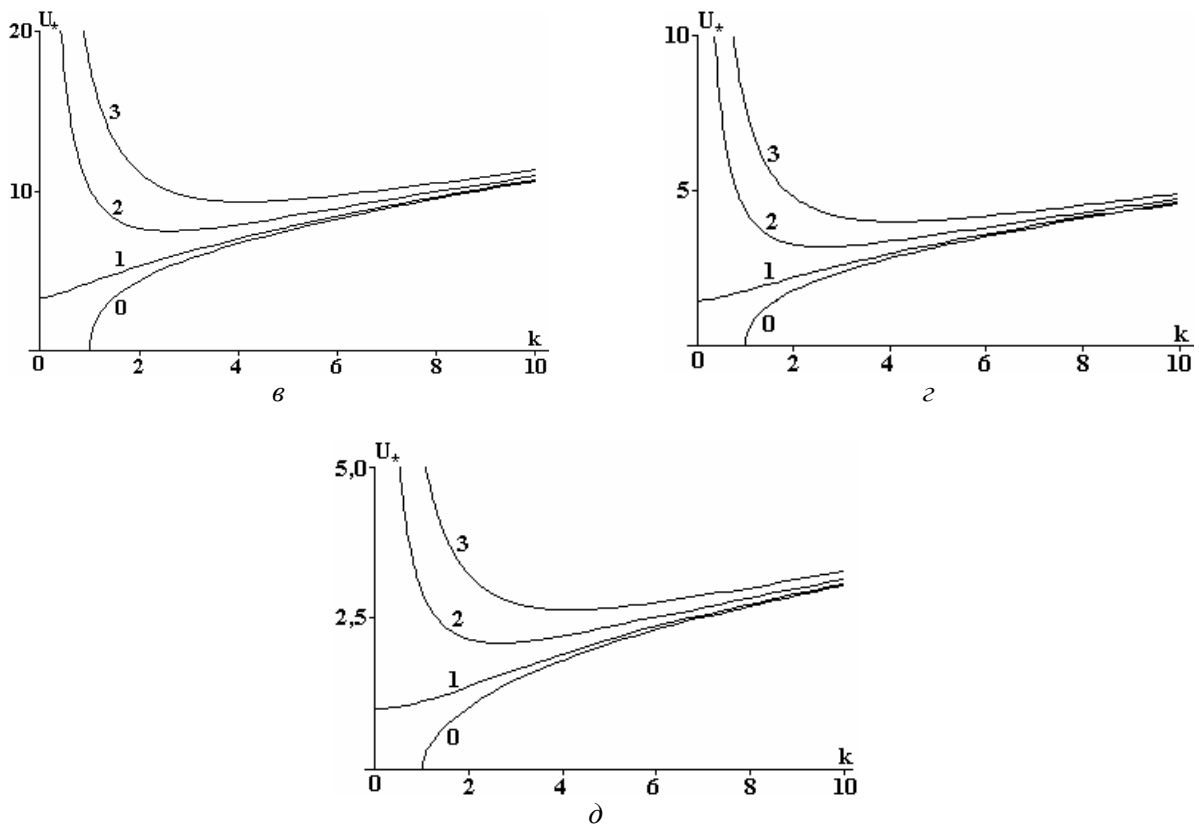


Рис. 1. Зависимости $U_* = U_*(k)$ для неосесимметричных волн с первыми четырьмя азимутальными числами t , рассчитанные при $E_0=0$, $\epsilon_{ex} = 1, \epsilon_{in} = 80$ и различных безразмерных плотностях окружающей среды: а) $\rho = 0,001$; б) $\rho = 0,01$; в) $\rho = 0,1$; з) $\rho = 0,9$; д) $\rho = 1000$. Цифра у кривой соответствует азимутальному числу

Рис. 2 представляют те же зависимости, что и на рис. 1, но построенные уже при наличии внешнего электростатического поля. Видно, что продольное электростатическое поле заметно повышает устойчивость осесимметричных волн, особенно для волн с малыми значениями волновых чисел (для длинных волн). Согласно рис. 2,б существует диапазон волновых чисел (при $k < 2$), в котором изгибающая и изгибно-деформационная моды возбуждаются потоком среды раньше, чем осесимметричная.

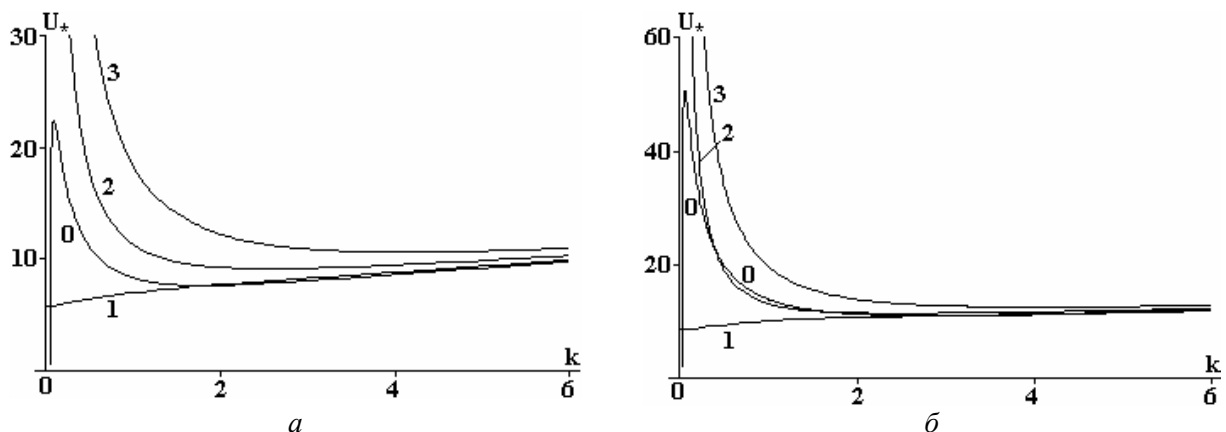


Рис. 2. Зависимости, аналогичные приведенным на рис. 1, но рассчитанные при $\rho = 0,1$ и наличии продольного электростатического поля: а) $E_0 = 0,6$; б) $E_0 = 1$

На рис. 3 приведены зависимости $U_* = U_*(k)$ для осесимметричных волн, рассчитанные при трех различных значениях напряженности продольного электрического поля E_0 и трех различных плотностях среды. Из рисунка несложно видеть, что 9 кривых разбиваются на три группы,

соответствующие различным плотностям окружающей среды. В каждой группе с одним значением плотности окружающей среды собираются кривые с различными значениями напряженности внешнего электрического поля, которое существенно сказывается на длинных волнах (волнах с малыми волновыми числами). Стабилизирующее влияние продольного электрического поля проявляется в сокращении роста напряженности поля диапазона волновых чисел неустойчивых волн в окрестности начала координат и повышении критического значения скорости движения струи относительно среды, при котором начинается неустойчивость.

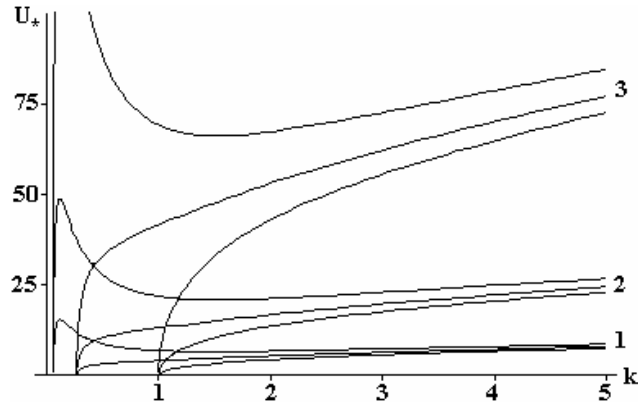


Рис. 3. Зависимости $U = U_*(k)$ для осесимметричных волн, рассчитанные при $\epsilon_{ex} = 1$, $\epsilon_{in} = 80$, различных безразмерных плотностях внешней среды: 1) $\rho = 0,1$; 2) $\rho = 0,01$; 3) $\rho = 0,001$ и напряженности внешнего продольного электростатического поля E_0 : 0 – крайние нижние кривые; 0,3 – средние; 0,5 – крайние верхние

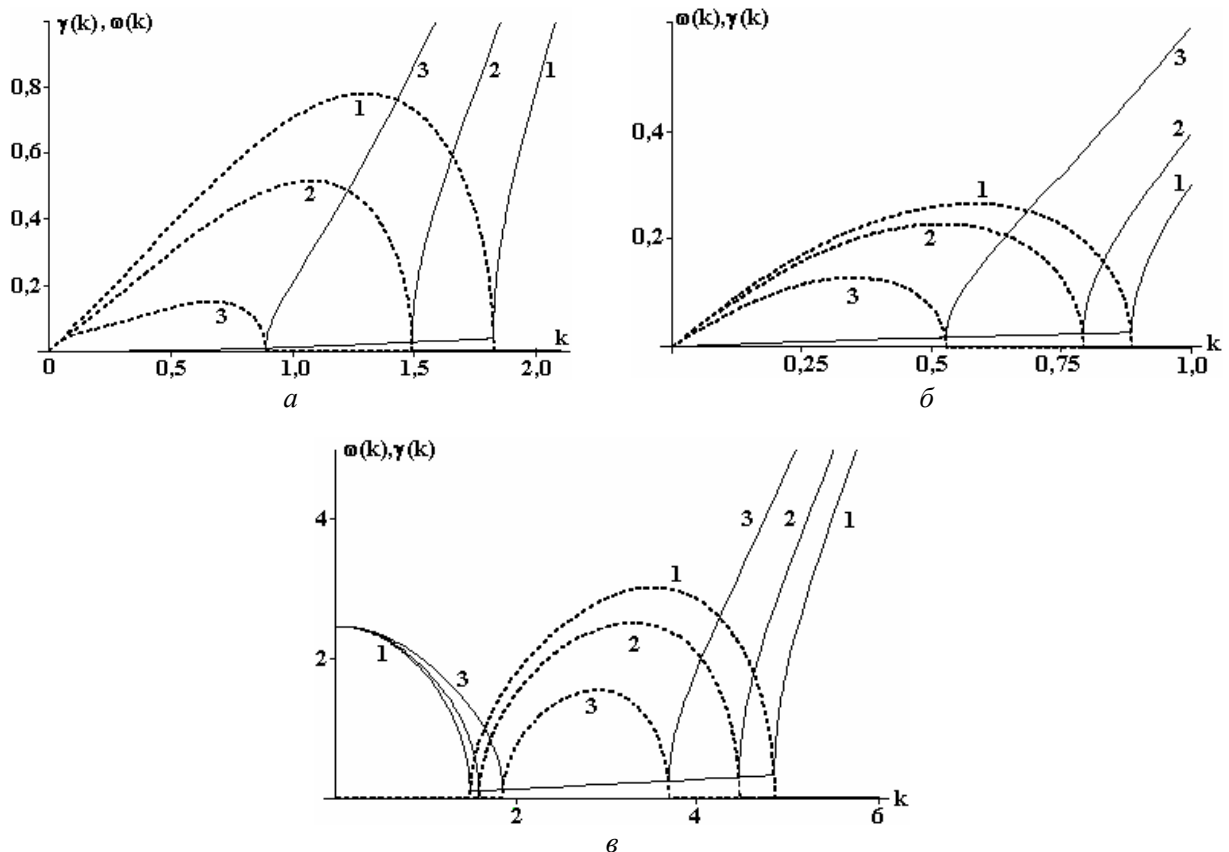


Рис. 4. Зависимости $\omega = \omega(k)$ (сплошные кривые) и $\gamma = \gamma(k)$ (пунктирные кривые), рассчитанные при $\epsilon_{ex} = 1$, $\epsilon_{in} = 80$; $\rho = 0,001$. а) $m = 0$; $U_0 = 40$; 1) $E_0 = 0$; 2) $E_0 = 0,2$; 3) $E_0 = 0,3$; б) $m = 0$; $U_0 = 40$; 1) $E_0 = 0$; 2) $E_0 = 0,1$; 3) $E_0 = 0,2$; в) $m = 2$; $U_0 = 80$; 1) $E_0 = 0$; 2) $E_0 = 0,2$; 3) $E_0 = 0,33$

На рис. 4 приведены результаты расчетов по формуле (1) в виде зависимостей $\omega = \omega(k)$ и $\gamma = \gamma(k)$ для волн с первыми тремя азимутальными числами m , выполненных для трех различных

значений напряженности внешнего продольного электрического поля при фиксированных величинах скорости струи и плотности окружающей среды. Видно, что решения делятся на два типа: устойчивые и неустойчивые волны. Частоты неустойчивых волн, порождаемых тангенциальным скачком поля скоростей на поверхности струи, определяются выражением

$$\omega \equiv -\frac{k\rho U_0 G_m(k)}{\rho G_m(k) - H_m(k)}, \quad (3)$$

стоящим в (1) перед радикалом (на рис. 4 они приведены отрезками сплошных прямых, проведенных под углом к оси k), а инкремент γ – самим радикалом, когда подкоренное выражение становится отрицательным. Решения в виде неустойчивых волн соответствуют реализации неустойчивости типа Кельвина-Гельмгольца. Сплошные кривые, отходящие вверх от прямых (3), соответствуют обычным капиллярным волнам. Из рис. 4 видно, что с ростом E_0 величины инкрементов неустойчивости снижаются, а диапазоны волновых чисел, соответствующие неустойчивым волнам, сужаются независимо от симметрии волн (независимо от величины азимутального числа m).

Заключение. Проведен анализ дисперсионного уравнения для капиллярных волн с произвольной симметрией на поверхности струи, движущейся коллинеарно внешнему однородному электростатическому полю в идеальной несжимаемой диэлектрической среде. Исследовано влияние отношения плотностей окружающей среды и жидкости струи на устойчивость капиллярных волн с произвольной симметрией на поверхности струи. Показано, что увеличение относительной плотности среды носит дестабилизирующий характер для волн на поверхности струи независимо от их симметрии, так же как и увеличение скорости движения струи относительно струи. Внешнее продольное электростатическое поле повышает устойчивость волн на поверхности струи.

Работа выполнена при поддержке грантов Рособрнауки № РНП 2.1.1/3776 и РФФИ № 09-08-00148.

ЛИТЕРАТУРА

1. Григорьев А.И., Ширяева С.О., Егорова Е.В. О некоторых особенностях нелинейного резонансного взаимодействия мод заряженной струи. *Электронная обработка материалов*. 2005, **41**(1), 42–50.
2. Григорьев А.И., Ширяева С.О., Воронина Н.В., Егорова Е.В. Об осцилляциях и спонтанном распаде заряженных жидких струй. *Электронная обработка материалов*. 2006, **42**(6), 23–34.
3. Шутов А.А. Формирование и устойчивость заряженной вязкой струи в сильном электрическом поле. *Изв. РАН. МЖГ*. 2006, (6), 52–67.
4. Ширяева С.О., Григорьев А.И., Волкова М.В. *Спонтанный капиллярный распад заряженных струй*. Ярославль: Изд. ЯрГУ, 2007. 340 с.
5. Eggers J., Willermaux E. Physics of liquid jets. *Rep. Prog. Phys.* 2008, **71**(036601), 1–79.
6. Shiryayeva S.O. and Grigor'ev A.I. On stabilization of capillary instability of dielectric liquid jet by volume electric charge. *Surface Engineering and Applied Electrochemistry*. 2009, **45**(5), 357–363.
7. Grigor'ev A.I. and Shiryayeva S.O. On electrostatic instability of a space-charged jet of dielectric liquid. *Surface Engineering and Applied Electrochemistry*. 2009, **45**(6), 465–470.
8. Глонти Г. А. К теории устойчивости жидких струй в электрическом поле. *ЖЭТФ*. 1958, **34**(5), 1328–1330.
9. Nayyar N.K., Murty G.S. The stability of a dielectric jet in a presence of a longitudinal electric field. *Proc. Phys. Soc.* 1960, **75**(Pt.3., 483), 369–373.
10. Saville D.A. Electrohydrodynamic stability: fluid cylinders in longitudinal electric fields. *Phys. Fluids*. 1970, **13**(12), 2987–2994.
11. Шкадов В.Я., Шутов А.А. Устойчивость поверхностно заряженной вязкой струи в электрическом поле. *Изв. РАН. МЖГ*. 1998, (2), 29–40.
12. Shiryayeva S.O. and Grigor'ev A.I. and Volkova M.V. On the possibility of the full stabilization of the capillary instability of a dielectric liquid jet by a longitudinal static field. *Surface Engineering and Applied Electrochemistry*. 2009, **45**(3), 193–198.
13. Ширяева С.О. О капиллярной устойчивости цилиндрической струи диэлектрической жидкости в продольном электростатическом поле. *ЖТФ*. 2010, **80**(2), 47–51.
14. Григорьев А.И., Воронина Н.В., Ширяева С.О. Асимптотическое исследование нелинейных неосесимметричных волн на поверхности незаряженной диэлектрической струи в продольном электростатическом поле. *ЖТФ*. 2010, **80**(10), 22–29.

15. Ширяева С.О. Об устойчивости объемно заряженной струи диэлектрической жидкости, ускоренно движущейся в коллинеарной струе электрического поля. *Изв. РАН. МЖГ*. 2010, (3), 57–68.
16. Григорьев А.И., Ширяева С.О., Петрушов Н.А., Волкова М.В. О влиянии плотности внешней среды на устойчивость капиллярных волн на поверхности жидкой струи, движущейся относительно среды. *Электронный журнал "Исследовано в России"*, <http://zhurnal.ape.relarn.ru/articles/2010/017.pdf> 2010, 232–240.
17. Grigor'ev A.I., Shiryayeva S.O., Petrushov N.A. and and Volkova M.V. Instability of the lateral surface of strongly charged jets in a collinear flow of material environment. *Surface Engineering and Applied Electrochemistry*. 2010, **46**(3), 218–222.
18. Cloupeau M., Prunet Foch B. Electrostatic spraying of liquids: main functioning modes. *J. Electrostatics*. 1990, **25**, 165–184.
19. Jaworek A., Krupa A. Classification of the modes of EHD spraying. *J. Aerosol Sci.* 1999, **30**(7), 873–893.
20. Kim O.V., Dunn P.F. Controlled production of droplets by in-flight electro spraying. *Langmuir*. 2010, **26**, 15807–15813.
21. Абрамовиц М., Стиган И. *Справочник по специальным функциям*. М.: Наука, 1979. 830 с.
22. Барри Дж. *Шаровая молния и четочная молния*. М.: Мир, 1983. 286 с.

Поступила 21.02.11

Summary

On the basis of the analysis of the dispersion equation for nonaxisymmetric capillary waves on a surface of cylindrical jet ideal incompressible conductive liquids moving collinear to a uniform electrostatic field in a material environment medium, is shown, that increasing of an environment medium density carries destabilizing character. The instability of a nonaxisymmetric waves has threshold character on speed of a jet relative to medium.
